

# Trabajo Final: Péndulo Invertido con Volante de Inercia

**Alesandria, Alejo Samuel**  
alealesandria@gmail.com

**Delfino, Ramiro**  
pokramiro12@gmail.com

## 1 INTRODUCCIÓN

- Conceptos preliminares

## 2 DESARROLLO

- Características generales del sistema
- Diagrama de bloques del sistema
- Modelado matemático del sistema
- Identificación del sistema
- Análisis de estabilidad y lugar geométrico de raíces de la planta
- Análisis de respuesta en frecuencia del sistema
- Controlador PID
  - Limitaciones del sistema
  - Sintonización PID
- Implementación física del sistema

## 3 CONCLUSIÓN

- **Sistemas invariantes en el tiempo.**
- **Sistema lineal.**
- **Variable controlada.**
- **Variable manipulada.**
- **Sistema de control.**
- **Planta.**
- **Perturbaciones.**

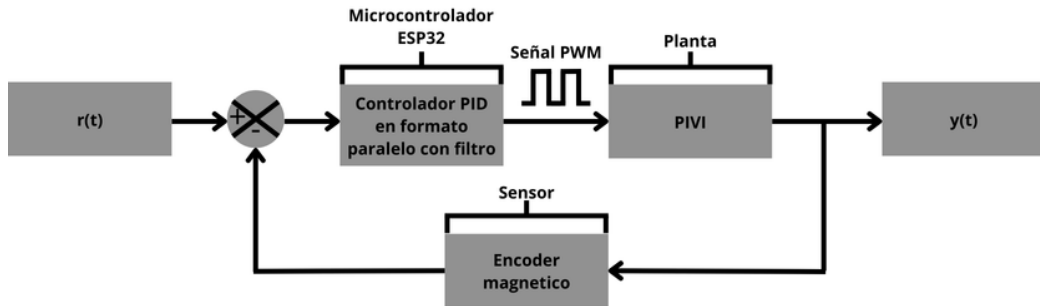
# Características generales del sistema

- Estable cuando está hacia abajo.
- Inestable cuando está vertical hacia arriba.
- Se requiere control activo para mantenerlo en equilibrio.

## Construcción

- Barra fija en un extremo.
- Motor con volante de inercia en el extremo opuesto.
- El motor es regulado mediante PWM.
- Para determinar la posición angular del péndulo se utiliza un encoder magnético.

# Diagrama de bloques del sistema



- $r(t)$ , señal de referencia.
- $y(t)$ , salida del sistema.
- Señal PWM, variable manipulada.
- Sensor (posición angular), variable controlada.

# Modelado matemático del sistema

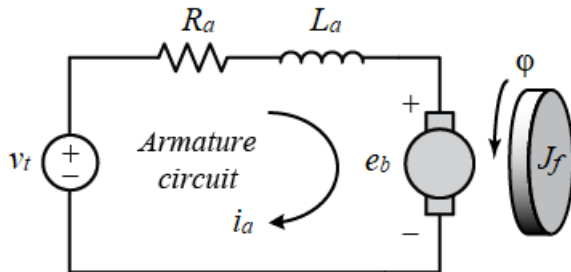


Figura: Circuito eléctrico equivalente de un motor de DC.

- $v_t$  = Señal de control.
- $R_a$  = Resistencia de Armadura.
- $L_a$  = Inductancia de Armadura.
- $e_b$  = fuerza contra electromotriz.
- $\varphi$  = ángulo del rotor.
- $J_f$  = momento de inercia del Volante

# Modelado matemático del sistema

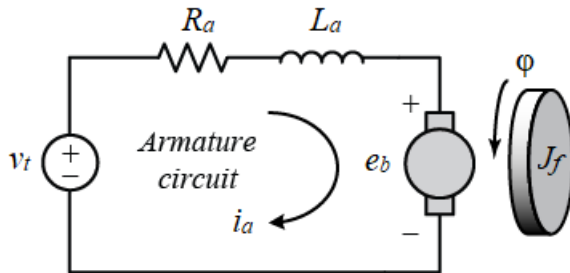


Figura: Circuito eléctrico equivalente de un motor de DC.

Aplicando ley de Kirchhoff de Tensiones:

$$v_t = R_a * i_a + e_b$$

Se reescribe  $e_b = K * \phi * \omega_m = K * \phi * \dot{\varphi}$ , y donde  $K_b = K * \phi$

# Modelado matemático del sistema

Se determina el par inducido como:

$$\begin{aligned}\tau_m &= K * \phi * i_a \\ J_f * \ddot{\varphi} &= K_m * i_a\end{aligned}$$

Reemplazando y reordenando la ecuación de tensiones de Kirchhoff.

$$\ddot{\varphi} + \frac{K_b * K_m}{R_a * J_f} * \dot{\varphi} = v_t * \frac{K_m}{R_a * J_f}$$

Y aplicando transformada de Laplace.

$$s^2 * \Phi(s) + \frac{K_b * K_m}{R_a * J_f} * s * \Phi(s) = V_t(s) * \frac{K_m}{R_a * J_f}$$

Reemplazando  $K_{bm} = \frac{K_b * K_m}{R_a * J_f}$  y despejando  $\frac{\Phi(s)}{V_t(s)}$ .

$$\frac{\Phi(s)}{V_t(s)} = \frac{\frac{K_m}{R_a * J_f}}{s^2 + K_{bm} * s}$$

$\Phi$  (posición angular del volante de inercia) y  $V_t$  (señal de control)



# Modelado matemático del sistema

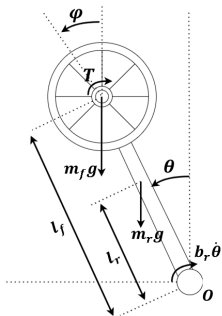


Figura: Modelo físico del Péndulo.

Se modela el péndulo a través de mecánica lagrangiana.

$$L = K - U$$

$L$ , representa el lagrangiano,  $K$  la energía cinética y  $U$  la energía potencial.

# Modelado matemático del sistema

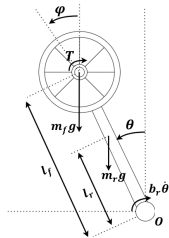


Figura: Modelo físico del Péndulo.

Se plantean las ecuación correspondiente a la energía y se reemplaza en el lagrangiano.

$$L = \frac{1}{2} * J * \dot{\theta}^2 + b_r * \theta - g * \cos \theta * (m_f * l_f + m_r * l_r)$$

# Modelado matemático del sistema

Se aplica la ecuación de Euler-Lagrange, y se obtiene.  $\frac{d}{dt} \left( \frac{\partial L}{\partial \dot{\theta}} \right) - \frac{\partial L}{\partial \theta} = \tau$

$$\ddot{\theta} * J + b_r * \dot{\theta} - g * \sin \theta * (m_f * l_f + m_r * l_r) = -\tau_m$$

Al considerar el péndulo en su posición natural,  $\sin(180 + \theta) = -\sin \theta \approx -\theta$ . Solo cuando  $\theta \ll 1$

$$\ddot{\theta} * J + b_r * \dot{\theta} + g * \theta * ML = -J_f * \ddot{\phi}$$

$$ML = (m_f * l_f + m_r * l_r)$$

Aplicando transformada de Laplace, y despejando  $\frac{\Theta(s)}{\Phi(s)}$

$$\frac{\Theta(s)}{\Phi(s)} = \frac{-J_f * s^2}{J * s^2 + b_r * s + g * ML}$$

$\Theta$  (posición angular del péndulo) y  $\Phi$  (posición angular del volante de inercia)

# Modelado matemático del sistema

Uniendo las ecuaciones obtenidas en dominio de Laplace.  $\frac{\Theta(s)}{\Phi(s)} \frac{\Phi(s)}{V_t(s)} = \frac{\Theta(s)}{V_t(s)}$

## Función de transferencia del péndulo en posición natural

$$\frac{\Theta(s)}{V_t(s)_{natural}} = \frac{\frac{-K_m}{R_a} * s}{s^3 + \left(K_{bm} + \frac{b_r}{J}\right) * s^2 + \frac{(b_r * K_{bm} + g * ML)}{J} * s + \frac{g * ML * K_{bm}}{J}}$$

Para obtener la función para el péndulo en posición de equilibrio inestable se reescribe la ecuación de energías.

## Función de transferencia del péndulo en posición invertida

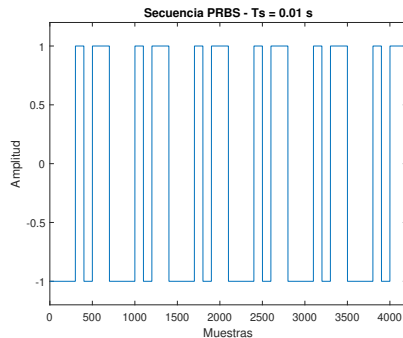
$$\ddot{\theta} * J + b_r * \dot{\theta} - g * \theta * (m_f * l_f + m_r * l_r) = -J_f * \ddot{\varphi}$$

$$\frac{\Theta(s)}{V_t(s)_{invertido}} = \frac{\frac{-K_m}{R_a} * s}{s^3 + \left(K_{bm} + \frac{b_r}{J}\right) * s^2 + \frac{(b_r * K_{bm} - g * ML)}{J} * s - \frac{g * ML * K_{bm}}{J}}$$

# Identificación del sistema

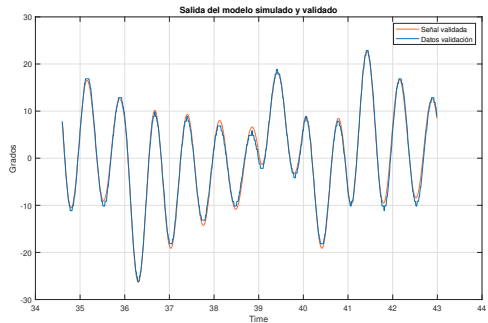
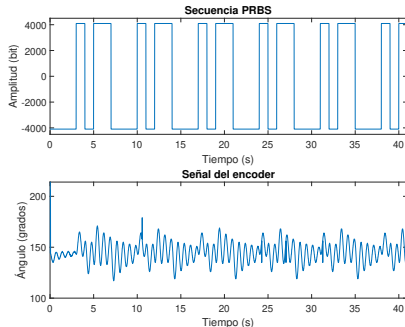
- Excitar al sistema con una señal para determinar la dinámica.
- Poder deducir los parámetros.
- Determinar la función de transferencia.

Se utiliza una secuencia PRBS,  $T_s = 0,01$  s y 4200 muestras.



# Identificación del sistema

Una vez recopilado los datos se utiliza MatLab *SystemIdentification*.



Como el modelo calculado posee tres polos y un cero, se colocan estos datos en la herramienta, dando un 89,3 % de correspondencia.

$$\frac{\Theta(s)}{V_t(s)_{natural}} = \frac{0,1122 s + 0,009427}{s^3 + 1,468 s^2 + 75,36 s + 61,8}$$

# Identificación del sistema

$$\frac{\Theta(s)}{V_t(s)_{invertido}} = \frac{\frac{-K_m}{R_a} * s}{s^3 + (K_{bm} + \frac{b_r}{J}) * s^2 + \frac{(b_r * K_{bm} - g * ML)}{J} * s - \frac{g * ML * K_{bm}}{J}}$$

A través de la identificación obtenida y conociendo la función de transferencia para el modelo invertido, se determina la misma resolviendo el siguiente sistema de ecuaciones.

$$\begin{cases} K_{bm} + \frac{b_r}{J} = 1,468 \\ \frac{b_r * K_{bm} + gML}{J} = 75,36 \\ \frac{gML * K_{bm}}{J} = 61,8 \end{cases}$$

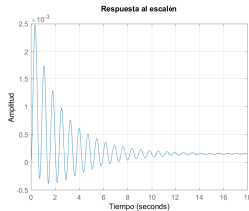
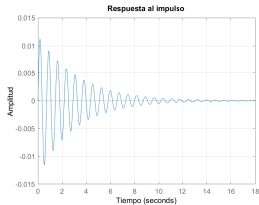
Y reemplazando en la ecuación del modelo invertido.

$$\frac{\Theta(s)}{V_t(s)_{invertido}} = \frac{-0,1122 s}{s^3 + 1,468 s^2 - 74,2976 s - 61,8}$$

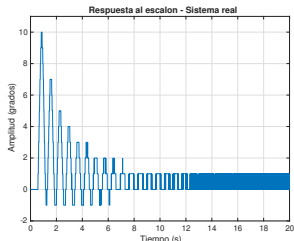
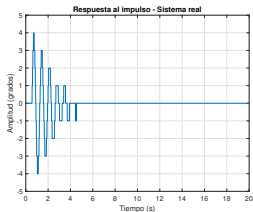
# Análisis de estabilidad

## Péndulo en posición natural

Modelo estimado.

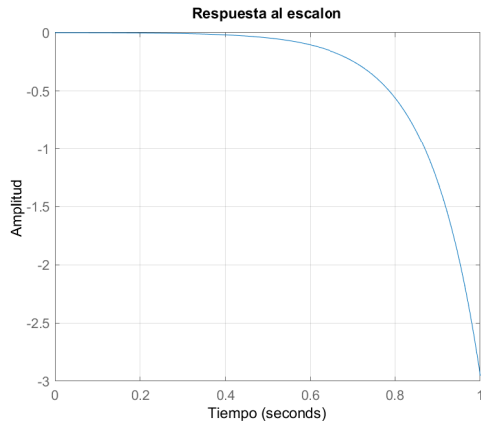
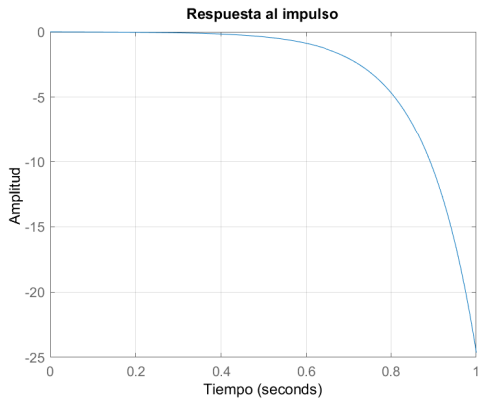


Péndulo real.



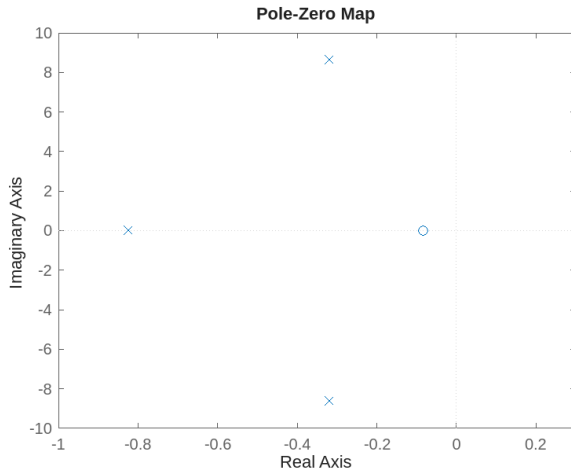


## Péndulo en posición Invertida



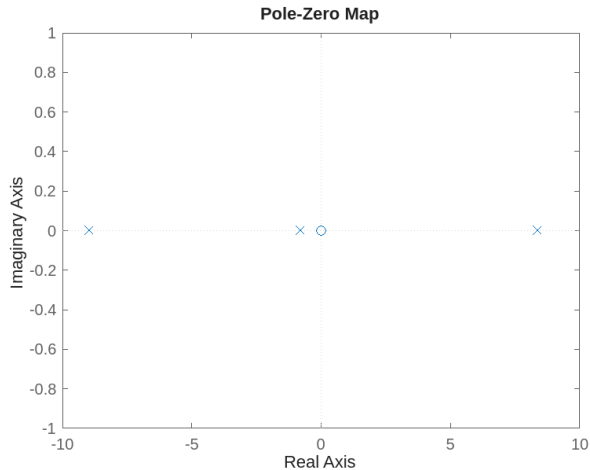
# Diagrama de polos y ceros

## Péndulo en posición natural

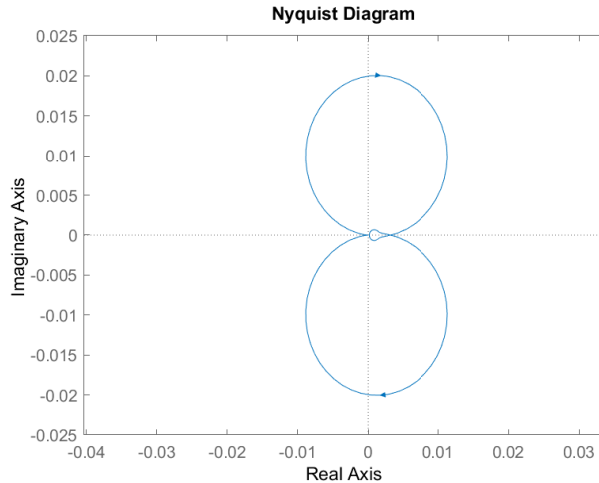


# Diagrama de polos y ceros

## Péndulo en posición invertida



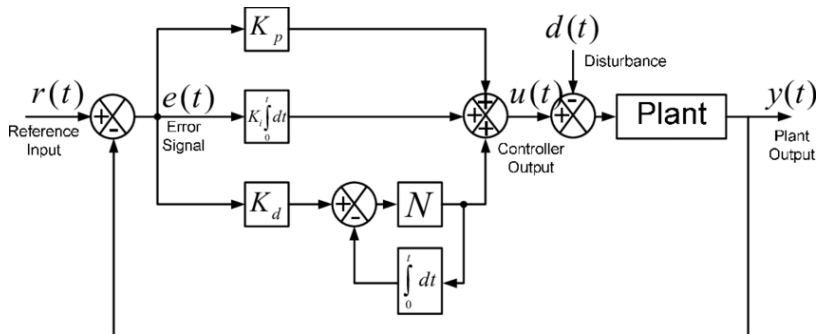
# Análisis de respuesta en frecuencia del sistema



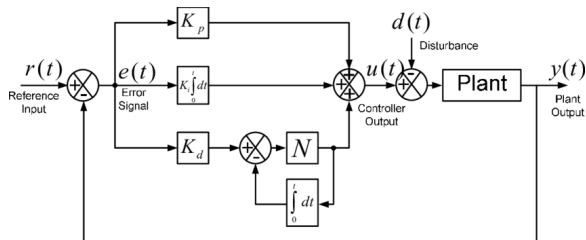
# Controlador PID

## Objetivos:

- Mejorar la respuesta del sistema.
- Disminuir las oscilaciones.
- Mantener el péndulo en posición vertical.
- Mejorar el rechazo a perturbaciones.



# Controlador PID



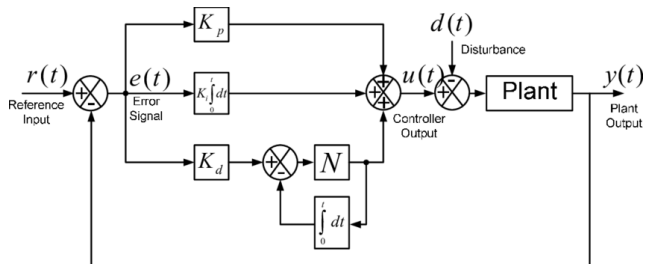
$$PID(s) = \frac{U(s)}{E(s)} = K_p + K_i * \frac{1}{s} + K_d * \frac{N}{1 + \frac{N}{s}}$$

Se expresa la función de transferencia en tiempo discreto. Se utiliza el método de Forward Euler.  $s = \frac{T_s}{z-1}$

$$PID(z) = \frac{U(z)}{E(z)} = K_p + K_i * \frac{T_s}{z-1} + K_d * \frac{N}{1 + N * \frac{T_s}{z-1}}$$

$$\frac{U(z)}{E(z)} = \frac{(K_p + K_d N)z^2 + (-2K_p - 2K_d N + K_i T_s + K_p N T_s)z + (K_p + K_d N - K_i T_s - K_p N T_s + K_i N T_s^2)}{z^2 + (-2 + N T_s)z + (1 - N T_s)}$$

# Controlador PID



Como el control se aplica en un microcontrolador, la función de transferencia en tiempo discreto se debe expresar en ecuación en diferencias.

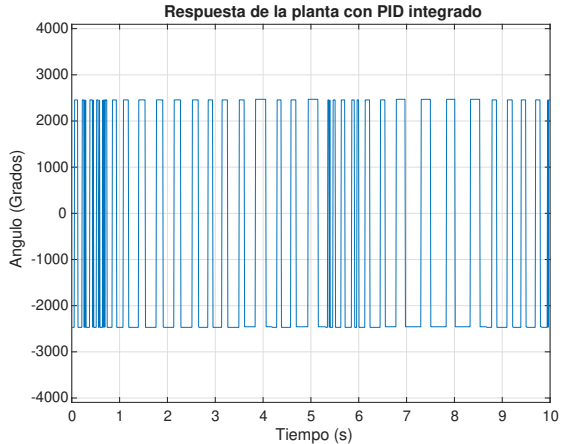
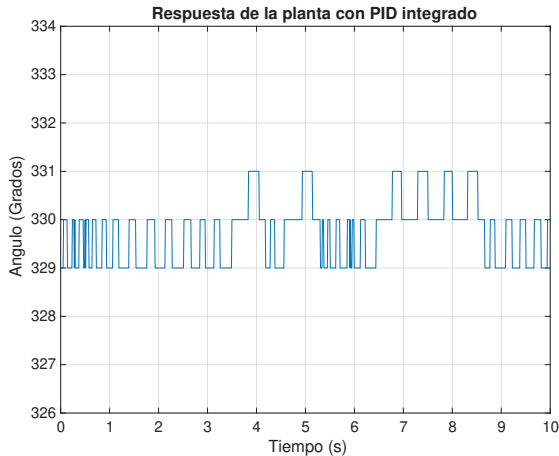
$$\begin{aligned}
 u[n] = & (K_p + K_d N) e[n] \\
 & + (-2K_p - 2K_d N + K_i T_s + K_p N T_s) e[n - 1] \\
 & + (K_p + K_d N - K_i T_s - K_p N T_s + K_i N T_s^2) e[n - 2] \\
 & - (-2 + N T_s) u[n - 1] \\
 & - (1 - N T_s) u[n - 2]
 \end{aligned}$$

- Alimentación del motor de CD.
- Limitación del duty del PWM en un rango de 60 % a 100 %.
- Solo es controlable en posición de equilibrio inestable agregando un contrapeso.



# Sintonización PID

La sintonización se realizó en MatLab con *PIDTuner*



Los valores arrojados en *PIDTuner* fueron utilizados como una aproximación, luego se sintonizó de acuerdo con la respuesta visible del sistema.

# Implementación física del sistema



- El control PID se realizó en una placa de desarrollo ESP32-s3.
- Para controlar el motor se utilizó un puente H, L298n.
- Para la medición de la posición angular del péndulo se empleó un encoder magnético.
- Se diseñó un volante de inercia.
- El motor de CD se extrajo de una impresora no funcional.

# DEMOSTRACIÓN

Espacio de preguntas

- Se pudo implementar correctamente un control PID.
- Se desarrolló analíticamente el sistema.
- El modelo empírico se corresponde con el modelo físico.
- Se analizó el modelo físico, y se realizaron las comparaciones pertinentes.

# ¡Gracias por su atención!

*Alesandria Alejo - Delfino Ramiro*  
*UTN Facultad Regional San Francisco*  
*03 de septiembre de 2024*

# Referencias

- [1] Victor Cardoso, Thiago Souza y Pedro M. del Foyo. «Flywheel Inverted Pendulum Design for Evaluation of Swing-Up Energy-Based Strategies». En: *Anais do XXIV Congresso Brasileiro de Automática*. Vol. 3. Oct. de 2022. DOI: 10.20906/CBA2022/3529.
- [2] José R. Vasconcelos, González Elizabeth M. y Pedro M. del Foyo. «Design and Control of a Flywheel Inverted Pendulum System». En: *Anais do XXII Congresso Brasileiro de Automática*. Vol. 1. Oct. de 2020. DOI: 10.20906/CBA2022/390.
- [3] Amir Ali Amiri Moghadam y Matthew Marshall. «Robust Control of the Flywheel Inverted Pendulum System Considering Parameter Uncertainty». En: *2021 American Control Conference (ACC)*. 2021, págs. 1730-1735. DOI: 10.23919/ACC50511.2021.9483178.
- [4] Jeremy Scerri, Goran S. Đorđević y Darko Todorović. «Modeling and control of a reaction wheel pendulum with visual feedback». En: *2017 International Conference on Control, Automation and Diagnosis (ICCAD)*. 2017, págs. 024-029. DOI: 10.1109/CADIAG.2017.8075625.
- [5] Stephen Chapman. *Máquinas eléctricas*. 5ta. McGrawHill, 2015.